



УДК 577.113.5:577.152

## ОРГАНИЗАЦИЯ ГЕНА $\beta$ -СУБЪЕДИНИЦЫ ФОТОРЕЦЕПТОРНОЙ ФОСФОДИЭСТЕРАЗЫ ЦИКЛИЧЕСКОГО GMP ЧЕЛОВЕКА

© 1996 г. В. А. Суслова, О. Н. Суслов, Э. Э. Ким, В. М. Липкин<sup>#</sup>

Институт биоорганической химии им. М.М. Шемякина и Ю.А. Овчинникова РАН,  
117871, Москва, ГСП-7, ул. Миклухо-Маклая, 16/10

Поступила в редакцию 21.09.95 г.

Из геномной библиотеки выделены два рекомбинантных бактериофага  $\lambda$ , содержащие фрагмент гена  $\beta$ -субъединицы фосфодиэстеразы человека длиной 27.8 т.п.о. Установлена нуклеотидная последовательность 19 экзонов (с 4-го по 22-й), 18 инtronов и 3'-фланкирующей области гена. Анализ нуклеотидной последовательности выявил четыре повторяющиеся последовательности *Alu*-семейства и четыре мини-сателлитных участка.

**Ключевые слова:** зрительная рецепция; cGMP, фосфодиэстераза; инtron-экзон; *Alu*-повторы; мини-сателлиты.

Каскад реакций в фоторецепторной клетке, приводящий к преобразованию энергии фотона в нервный импульс, включает функционирование трех белков – родопсина, трансдуцина и фосфодиэстеразы циклического GMP (ФДЭ). Конформационные изменения в молекуле родопсина, вызванные поглощением кванта света, приводят к активации сотен молекул трансдуцина с образованием комплексов  $\alpha$ -субъединицы трансдуцина с GTP, каждый из которых активирует ФДЭ.

ФДЭ из палочек сетчатки состоит из четырех субъединиц:  $\alpha$  (88 кДа),  $\beta$  (84 кДа) и двух  $\gamma$  (11 кДа) [1, 2].  $\alpha$ - и  $\beta$ -субъединицы выполняют катализическую функцию, в то время как  $\gamma$ -субъединицы являются внутримолекулярными ингибиторами фермента, причем их ингибиторный эффект снимается при взаимодействии ФДЭ с  $\alpha$ -субъединицей трансдуцина.

В результате активации ФДЭ снижается концентрация внутриклеточного cGMP, что приводит к закрытию большого числа cGMP-зависимых каналов в цитоплазматической мемbrane фоторецепторной клетки, гиперполяризации цитоплазматической мембраны и возникновению нервного импульса.

В последнее время большое внимание уделяется изучению процессов, ведущих к нарушению передачи светового сигнала в фоторецепторных клетках и вызывающих тяжелые клинические последствия. Изучение молекулярных механизмов различных патологий, и в первую очередь наследственных, приводящих к нарушению восприятия, передачи и усиления зрительного сигнала,

требует детальной информации не только о строении белков, принимающих участие в этих процессах, но и о структуре, организации, хромосомной локализации их генов.

Установлено, что одна из форм дегенерации сетчатки у мыши (*rd*-мутация) вызывается дефектом в гене  $\beta$ -субъединицы ФДЭ [3], поэтому определение нуклеотидной последовательности гена  $\beta$ -субъединицы фосфодиэстеразы из сетчатки человека представляет не только научный, но и практический интерес.

Ранее в ИБХ РАН были клонированы кДНК всех трех субъединиц ФДЭ из палочек сетчатки быка, кДНК  $\beta$ -субъединицы ФДЭ из сетчатки человека и определены аминокислотные последовательности соответствующих белков [4–8], а также клонирован ген  $\gamma$ -субъединицы ФДЭ человека и определена его экзон-инtronная организация [9]. В этой статье описано клонирование и установление первичной структуры гена  $\beta$ -субъединицы ФДЭ cGMP из сетчатки человека (регистрационные номера банка данных EMBL X90587–X90590).

### Клонирование и определение нуклеотидной последовательности гена $\beta$ -субъединицы ФДЭ человека

С целью выявления фрагментов ДНК, содержащих ген  $\beta$ -субъединицы ФДЭ человека, была проанализирована геномная библиотека представительностью около  $1.5 \times 10^6$  клонов, полученная Р.Л. Алликметсом (ИБХ РАН). Для клонирования (в сайт *Bam*H вектора  $\lambda$ EMBL3) использовали фрагменты размером 16–20 т.п.о., полученные

<sup>#</sup> Автор для переписки.

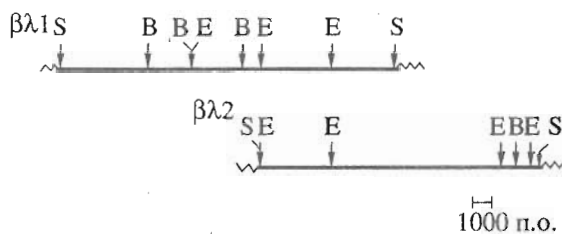


Рис. 1. Физическая карта вставок геномной ДНК в клонах  $\beta\lambda 1$  и  $\beta\lambda 2$ . Ломаная линия – плечи фага  $\lambda$ . Сайты рестрикций: B – *Bam*HI, E – *Eco*RI, S – *Sal*I.

в результате частичного гидролиза высокомолекулярной геномной ДНК из мозга человека рестриктазой *Sau*3A. ДНК фага  $\lambda$  вводили в бактериальные клетки (штамм *E. coli* DP50) при помощи фаговой инфекции.

Рекомбинантные бактериофаги  $\lambda$  идентифицировали наиболее часто применяемым методом гибридизации *in situ* фаговых бляшек [10] в модификации, предложенной в работе [11].

Для первичного скрининга библиотеки в качестве зонда использовали смесь фрагментов кДНК  $\beta$ -субъединицы ФДЭ из палочек сетчатки быка, меченных при помощи ник-трансляции.

Первичный скрининг амплифицированной геномной библиотеки из ДНК мозга человека выявил четыре клона ( $\beta\lambda 1$ ,  $\beta\lambda 2$ ,  $\beta\lambda 3$  и  $\beta\lambda 4$ ), положительных по данным гибридизации с ник-транслированными фрагментами кДНК  $\beta$ -субъединицы ФДЭ быка. Индивидуальные клоны выделили, проведя несколько последовательных циклов гибридизации.

Фаговую ДНК из индивидуальных клонов выделяли стандартным методом в модификации Забаровского [12].

ДНК фагов подвергали гидролизу эндонуклеазами рестрикции *Eco*RI, *Bam*HI и *Sal*I. Фрагменты ДНК разделяли в 0.7% агарозном геле и переносили на нитроцеллюлозный фильтр по Саузерну [13] для последующей гибридизации. При построении рестриктных карт использовали результаты гибридизации фрагментов фаговых ДНК со специфическими зондами.

*Eco*RI-*Eco*RI-фрагмент вставки клона  $\beta\lambda 1$  гибридизовался с ник-транслированным фрагментом кДНК  $\beta$ -субъединицы быка, кодирующим N-концевую область белка, а фрагмент *Eco*RI-*Eco*RI клона  $\beta\lambda 2$  – с зондами, соответствующими центральной и C-концевой областям белка.

Основываясь на этих результатах, мы пришли к выводу, что клон  $\beta\lambda 1$  содержит часть гена  $\beta$ -субъединицы ФДЭ, соответствующую N-концевой и центральной областям, а клон  $\beta\lambda 2$  – C-концевой области белка. Вставки этих клонов перекрываются в районах фрагмента *Eco*RI-*Eco*RI длиной 4.2 т.п.о. и частично фрагмента *Eco*RI-*Eco*RI длиной 9.8 т.п.о. (рис. 1).

Фрагменты ДНК клонов  $\beta\lambda 1$  и  $\beta\lambda 2$ , которые гибридизовались с ник-транслированными фрагментами кДНК  $\beta$ -субъединицы ФДЭ быка, были субклонированы в плазмидные векторы pSP65, pUC8, pUC18, pUC19 и подвергнуты детальному рестриктному анализу.

Субклоны в плазмидных векторах pUC18 и pUC19 для секвенирования получали методом направленного клонирования и методом последовательных делеций. В первом случае выделяли и клонировали в векторе индивидуальные рестриктные фрагменты. С помощью такой стратегии установили большую часть структуры. Нуклеотидную последовательность инtronов 10, 13 и 21 определили в основном путем секвенирования серии клонов, полученных методом последовательных делеций с использованием экзонуклеазы *Xba*III [14]. Применение этой стратегии секвенирования было вызвано, во-первых, отсутствием в этих интронах подходящих сайтов для субклонирования, а во-вторых, наличием в них tandemных повторов.

Сравнение установленной нуклеотидной последовательности фрагментов *Eco*RI-*Eco*RI размером 4, 4.2 и 9.8 т.п.о. с последовательностью кДНК  $\beta$ -субъединицы ФДЭ быка [6], мыши [3] и человека [7] показало, что клоны  $\beta\lambda 1$  и  $\beta\lambda 2$  содержат 19 экзонов, кодирующих центральную и C-концевую области  $\beta$ -субъединицы ФДЭ cGMP человека (с 238-го по 854-й аминокислотный остаток). Фрагмент *Eco*RI-*Eco*RI размером 9.8 т.п.о. включает терминирующий кодон, а также 650 п.о.

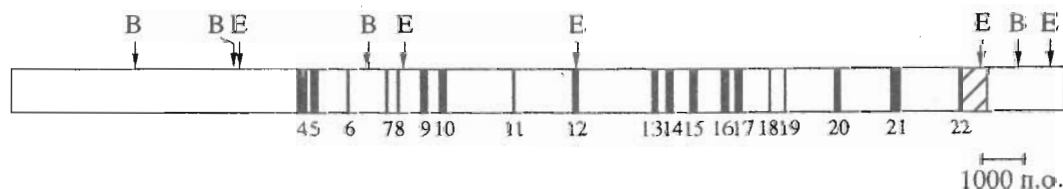


Рис. 2. Организация исследуемого фрагмента гена  $\beta$ -субъединицы ФДЭ человека. Вертикальными полосами показаны экзоны. Цифры под картой указывают номера экзонов. Защищенный прямоугольник соответствует 3'-нетранслируемой области. Стрелками отмечены сайты рестрикции *Bam*I (B) и *Eco*RI (E).

3'-фланкирующей области, однако не содержит сайт полиаденилирования. Чтобы получить полную информацию о 3'-фланкирующей области гена, из клона  $\beta\lambda 2$  субклонировали фрагмент EcoRI-BamHI (850 п.о.), структурный анализ которого выявил несколько потенциальных сайтов полиаденилирования – "AATAAA".

Таким образом, вставки фагов  $\beta\lambda 1$  и  $\beta\lambda 2$  содержат фрагмент гена  $\beta$ -субъединицы длиной 27.8 т.п.о., включающий 19 экзонов и 3'-фланкирующую область (рис. 2). На основании того, что фрагменты SalI-BamHI (5.2 т.п.о.) и EcoRI-BamHI (2.5 т.п.о.) вставки фага  $\beta\lambda 1$  не гибридизовались с ник-транслированным фрагментом клона pB9, кодирующим N-концевую область белка, и по аналогии с организацией гена  $\beta$ -субъединицы мыши [3] мы предположили, что в клонированных нами фрагментах гена  $\beta$ -субъединицы ФДЭ человека отсутствуют три первых экзона.

На рис. 3 приведена нуклеотидная последовательность экзонов фрагмента гена  $\beta$ -субъедини-

цы фоторецепторной ФДЭ человека, а также соответствующая ей аминокислотная последовательность белка.

### Экзон-инtronная организация гена $\beta$ -субъединицы ФДЭ человека

Как показано в табл. 1, все инtron-экзонные границы, кроме донорного участка 20-го интрана, соответствуют правилу GT/AG [15] и согласуются с консенсусными последовательностями 5'- и 3'-участков сплайсинга [16]. Донорный участок сплайсинга 20-го интрана содержит GC, а не GT, но в целом совпадает с консенсусом, что, по-видимому, компенсирует отсутствие GT. У многих генов на расстоянии 10–40 нуклеотидов от 3'-конца интрана выявляется еще одна общая последовательность  $\begin{matrix} C & C & A & C \\ N & T & A \\ T & G & T \end{matrix}$ , которая наряду с 5'-донорным и 3'-акцепторным участками вовлечена в

**Таблица 1.** Участки сплайсинга исследуемого фрагмента гена  $\beta$ -субъединицы ФДЭ человека

Номер экзона	Размер экзона	5'-Донорный участок сплайсинга	Номер интрана	Размер интрана	3'-Акцепторный участок сплайсинга*	
4	141	AGAAG gtgagg	4	87	gtgagggtgggagcccacaggccccacagggtgtgcctccctccag ccaggtcccgactgtaccgcaccctcacctttctgtcccaag	GTGCT GAATT
5	75	GCCGG gtgagt	5	669	agagcttggccaggcagccccccgaccatgtcttcgtcttcgtcag	GAAAT
6	65	ATTCC gtaagt	6	1044	catccagccggcggtggctatctgaccctgtctgtccacag	CACAC
7	67	GCTTT gtgagt	7	240	gccttcgcgtgttttgatgaaatcgtttctgtatgttttcgt	ATTTG
8	48	TTCAG gtatct	8	573	agggccagccctcaggcgaggctcagctgtggacaccgctccgcag	GAAGG
9	150	TGGAG gtaagc	9	325	gggcgcgcgggagcgcagcgcactgtccatcccctccag	TCCCT
10	144	TCCTG gtgcgg	10	1520	ccacatgcgaagctttctcgtacacatctgtctgtgttag	CCAAC
11	66	TCCTG gtaaga	11	1450	gggctgtggcaggccaacctccctcagccccacaatccctccacag	AAGGA
12	147	AGGAG gtggga	12	1800	cttacacgcgttgcgcggagccctgtgtcctctggctccccag	GTCCT
13	108	TCATG gtacgt	13	264	cctgctggagccaggaccgggtgagcaagggtggccctgtctctacag	ACCGG
14	110	ATGAA gttagc	14	477	ccaaggccagggtccacggccctcacccaccatgttaacag	GTCCC
15	88	AGGAG gtttgt	15	576	ttagaggtgccgcaggccgtacgcgcgtggcataaccctccgcag	ACCCT
16	101	TTCAA gtgcgc	16	242	ctccacactgtcccacctgcaccccttgcgtccctgggttcag	GAAGA
17	108	GTCAT gtgagc	17	657	cctcaggagacgcccattcagcactcgtgtccccgttgcgtcag	GGCCA
18	64	GCAAG gttaga	18	310	gcgtgggtcagacgtccacagacagactgccttctgtgcctccag	GTCGC
19	75	CCATT gtgagt	19	1198	ctgcctccctggtcaactgttctccgcctctgttcccccacag	CCTAT
20	84	ACAAG gcgagt	20	1238	agagcaggcaggacaggactgggtgacttctcgtactccctcag	GAGTT
21	151	GAAAG gtctgg	21	1374	gtgtcacagggtggtccactcaccatttctgtttctgtcag	TAGGC
Консенсусные последовательности:						
Донор: (A/C)AG gt(a/g)agt						
Петля: (c/t)n(c/t)t(a/g)a(c/t)						
Акцептор: (c/t)(c/t)(c/t)(c/t)(c/t)(c/t)(c/t)(c/t)(c/t)(c/t)ncag						

\* Подчеркнуты последовательности, участвующие в образовании петли.

GTGCTGCTGTGGTCGGCCAACAAGGTGTTGAGGAGCTGACGGACATCGAGAGGCAGTTC	60
V L L W S A N K V F E E L T D I E R Q F	257
↔ экзон 4	
CACAAGGCCCTCTACACGGTGCGGGCTACCTCAACTGCGAGCGGACTCCGTGGCCTC	120
H K A F Y T V R A Y L N C E R Y S V G L	277
CTGGACATGACCAAGGAGAAG GAATTGACGTGTGGTCTGTGCTGATGGGAGAGTCC	180
L D M T K E K E F F D V W S V L M G E S	297
экзон 4 ↔ ↔ экзон 5	
CAGCCGTACTCGGGCCCACGCACGCCGATGCCGG GAAATTGTCTCTACAAAGTGATC	240
Q P Y S G P R T P D G R E I V F Y K V I	317
экзон 5 ↔ ↔ экзон 6	
GAATCACATCCTCACGGCAAGGAGGAGATCAAGGTCAATTCC CACACCCCTCAGCCGATCAC	300
D Y I L H G K E E I K V I P T P S A D H	337
экзон 6 ↔ ↔ экзон 7	
TGGGCCCTGGCCAGCGGCCTTCCAAGCTACGTGGCAGAACGGGCTTT ATTTGTAACATC	360
W A L A S G L P S Y V A E S G F I C N I	357
экзон 7 ↔ ↔ экзон 8	
ATGAATGCTTCCGCTGACAAAATTCAG GAAGGGGCCCTGGACGACTCCGGG	420
M N A S A D E M F K F Q E G A L D D S G	377
экзон 8 ↔ ↔ экзон 9	
TGGCTCATCAAGAATGTGCTGTCCATGCCATCGTCAACAAGAAGGAGGAGATTGTGGGA	480
W L I K N V L S M P I V N K K E E I V G	397
GTCGCCACATTTACAACAGGAAAGACGGGAAGCCCTTGACGAACAGGACGAGGTTCTC	540
V A T F Y N R K D G K P F D E Q D E V L	417
ATGGAG TCCCTGACACAGTTCTGGCTGGTCAGTGAACACCGACACCTACGACAAG	600
M E S L T Q F L G W S V M N T D T Y D K	437
экзон 9 ↔ ↔ экзон 10	
ATGAACAAGCTGGAGAACCGCAAGGACATCGCACAGGACATGGCCTTACACGTGAAG	660
M N K L E N R K D I A Q D M V L Y H V K	457
TGCGACAGGGACGAGATCCAGCTCATCCTG CCAACCAGAGCGCGCCTGGGAAGGAGCCT	720
C D R D E I Q L I L P T R A R L G K E P	477
экзон 10 ↔ ↔ экзон 11	
GCTGACTGCGATGAGGACGAGCTGGCGAAATCCCTG AAGGAGGAGCTGCCAGGGCCCACC	780
A D C D E D E L G E I L K E E L P G P T	497
экзон 11 ↔ ↔ экзон 12	
ACATTTGACATCTACGAATTCCACTTCTGACCTGGAGTGCACCGAATGGACCTGGTC	840
T F D I Y E F H F S D L E C T E L D L V	517
AAATGTGGCATCCAGATGTACTACGAGCTGGCGTGGTCCGAAAGTCCAGATCCCCAG	900
K C G I Q M Y Y E L G V V R K F Q I P Q	537
экзон 12	
GAG GTCCTGGTGGTCCATCAGCAAAGGGTACCGGAGAATCACCTACCAAC	960
E V L V R F L F S I S K G Y R R I T Y H	557
↔ ↔ экзон 13	
AACTGGGCCACGGCTTCAACGTGGCCAGACGATGTTACGCTGCTCATG ACCGGAAA	1020
N W R H G F N V A Q T M F T L L M T G K	577
экзон 13 ↔ ↔ экзон 14	

Рис. 3. Нуклеотидная последовательность экзонов 4–22 гена  $\beta$ -субъединицы ФДЭ из сетчатки человека и выведенная из нее аминокислотная последовательность белка. Подчеркнуты потенциальные сайты полиаденилирования (AATAAA) и *Alu*-повтор.

CTGAAGAGCTACTACACGGACCTGGAGGCCATGGTACAGCCGGCTGTGCCAT L K S Y Y T D L E A F A M V T A G L C H	1080 597
GACATCGACCACCGCGGCACCAACAACCTGTACCAAGATGAA GTCCCAGAACCCCTGGCT D I D H R G T N N L Y Q M K S Q N P L A	1140 617
экзон 14 ⇔ ⇔ экзон 15	
AAGCTCCACGGCTCCTCGATTTGGAGCGGCACCAACCTGGAGTTGGAAAGTCCCTGCTC K L H G S S I L E R H H L E F G K F L L	1200 637
TCGGAGGAG ACCCTGAACATCTACCAAGAACCTGAACCGGGGGCAGCACGAGCACGTGATC S E E T L N I Y Q N L N R R Q H E H V I	1260 657
экзон 15 ⇔ ⇔ экзон 16	
CACCTGATGGACATGCCATCGCCACGGACCTGGCCCTGTACTTCAA GAAGAGAGCG H L M D I A I I A T D L A L Y F K K R A	1320 677
экзон 16 ⇔ ⇔ экзон 17	
ATGTTTCAGAAGATCGTGGATGAGTCCAAGAACTACCAAGGACAAGAAGAGCTGGTGGAG M F Q K I V D E S K N Y Q D K K S W V E	1380 697
TACCTGTCCCTGGAGACGACCCGGAAAGGAGATCGTCAT GGCCATGATGATGACAGCCTGC Y L S L E T T R K E I V M A M M M T A C	1440 717
экзон 17 ⇔ ⇔ экзон 18	
GACCTGTCTGCCATACCAAGCCCTGGAAAGTCCAGAGCAAG GTCGCACCTCTCGTGGCT D L S A I T K P W E V Q S K V A L L V A	1500 737
экзон 18 ⇔ ⇔ экзон 19	
GCTGAGTTCTGGAGCAAGGTGACTTGAAAGGACAGTCTGGATCAGCAGCCCATT CCT A E F W E Q G D L E R T V L D Q Q P I P	1560 757
экзон 19 ⇔ ⇔ экзон 20	
ATGATGGACCGGAACAAGCGGCCAGCTCCCCAAGCTGCAAGTGGCTTCATCGACTTC M M D R N K A A E L P K L Q V G F I D F	1620 777
GTGTGCACATTCTGTGTACAAG GAGTTCTCTCGTTCCACGAAGAGATCCTGCCATGTT V C T F V Y K E F S R F H E E I L P M F	1680 797
экзон 20 ⇔ ⇔ экзон 21	
GACCGACTGCAGAACATAAGAAAGAGTGGAAAGGGCTGGCTGATGAGTATGAGGCCAA D R L Q N N R K E W K A L A D E Y E A K	1740 817
GTGAAGGCTCTGGAGGAGAAGGAGGGAGGGTGGCAGCCAAGAAAG TAGGCACA V K A L E E K E E E R V A A K K V G T	1800 837
экзон 21 ⇔ ⇔ экзон 22	
GAAATTGCAATGGCGGCCAGCACCAAGTCTAACCTGCTGTATCCTGTGAGCACTG E I C N G G P A P K S S T C C I L *	1860 854
GTCCCGTGGGACCTATGGCTCCCTCAATCTCACCAACTAGGATTGGGTTCTGCCCTG TGGCTATTTGCTACAAGAGGTAGGAAGCCAAGAAAATGACTGAAGATCATTCTGGATA	1920 1980
TTTTAATTTTTTTTTTTTTGAGATGGAGTCTGCTCTGTCACCCAGGCTGG AGTCCCGTGGCACCGATCTCAGCTCACTGCAACCTCCACCTCCAGGTTCAAGCGATTCTC	2040 2100
GTGCCCTAGCCTCCTGAGTAGCTGGACTACAGGGCCCAACACACATGGCTAATT TTGTATTTGAGTACAGATGGGTTTACCATATTGGGAGGCTGGCTCGAACTCCTGA	2160 2220
CCTCAGGTGATCACCCGCTCAGCTTCTGAAAGTGTGGATTACAGGCATGAGCCACCA CGCCCGAGGCTGTTTATAAACTGAAGCCAACGTGAATAAAACTGTAGCCTACATTACTC	2280 2340
ATCCATTTGGATAGTTACACTGGGAGACCTTGAAAAGGGTCCATGAACCTGTAAAT CACTGAGAACATTGCAGCCACACATGTACATATGTGTACACAGGTAGACAGATGGACAC	2400 2460
AGGCCGTTCTCATCCAGTTAGGAAAACACACATGCTCAGGAATTGAGAATAAAA CAGAAAACACTTGCCCATTATCTGTGGTAAATGATAGCGGAACGCACACTACATTGA	2520 2580
CCCATCAGAAAATCTGCCAGAGAGCTAAGGCCATGAGTAAAGCGGCCATCCAACCTCA GTGGTCTGAGCGGAAATGATCTGTAATAAACACCATGAGTGTAGAGTGGCTCTG	2640 2690

Рис. 3. Окончание.

$\beta$ MS8    **ACACACCCCTGGGAGGGCGTGACCGCGGGCCCC**  
 $\beta$ MS10L    **TGTGGGCAGGGCAGGTCGTCGAGGGTCACCAGGGGTCACGGC**  
 $\beta$ MS10S    **TGTGGGTGGGGGGCAGGTCACCCAGGGGTCACGGC**  
 $\beta$ MS12    **ATAAATGGATGGATGGTGGGTGGCCAATGGTAGTTGGATGGTTGG**  
 $\beta$ MS21    **GGTGGCCCACTACCCCAT**

Рис. 4. Консенсусные нуклеотидные последовательности мономеров тандемных повторов гена  $\beta$ -субъединицы ФДЭ человека. Подчеркнуты тандемные повторы в гомологичных мономерах  $\beta$ MS10L и  $\beta$ MS10S.

сплайсинг про-мРНК [17]. Эта последовательность обнаружена на расстоянии 10–39 нуклеотидов от 3'-границ 18 инtronов (с 4-го по 21-й) гена  $\beta$ -субъединицы ФДЭ человека.

#### *Повторяющиеся последовательности гена $\beta$ -субъединицы ФДЭ человека*

Анализ установленной нуклеотидной последовательности гена  $\beta$ -субъединицы ФДЭ человека выявил ряд повторяющихся последовательностей.

В исследуемом фрагменте гена идентифицированы четыре *Alu*-повтора: по одному в интранах 14 и 17 и два в 3'-фланкирующей области гена. *Alu*-повторы инtronов имеют прямую ориентацию, в 3'-фланкирующем участке гена они расположены в обратной ориентации. Интересно, что С-концевая область гена относительно обогащена *Alu*-повторами, так как эти повторяющиеся элементы встречаются в геноме в среднем один раз на каждые 4 т.п.о. [18]. Сравнение нуклеотидных последовательностей идентифицированных *Alu*-повторов с консенсусной последовательностью, выведенной в работе [19], показало, что степень их идентичности составляет 69–90%. В соответствии с предложенной в работе [19] классификацией *Alu*-1-элемент гомологичен более древнему J-подсемейству, в то время как другие три *Alu*-повтора относятся к более современному S-подсемейству. Из 24 динуклеотидов CpG консенсусной последовательности в *Alu*-1-элементе сохранились только 2, в *Alu*-2 – 13, в *Alu*-3 – 6 и в *Alu*-4 – 2 динуклеотида CpG, что, вероятно, вызвано их превращением в динуклеотиды TpG и CpA в результате спонтанного дезаминирования 5-метилцитозина.

В нуклеотидных последовательностях, фланкирующих *Alu*-элементы, обнаружены прямые повторы длиной от 4 до 18 п.о.

Был проведен компьютерный поиск моно-, ди- и тринуклеотидных повторов в гене  $\beta$ -субъединицы ФДЭ человека. В центральной области гена, в

интранах 5 и 11, обнаружено несколько участков, содержащих пурин-пиrimидиновые последовательности  $(dC-dA)_n \cdot (dG-dT)_n$  (табл. 2). В интроне 5 локализованы две  $d(GT)_n$ -последовательности длиной 16 и 19 п.о. В интроне 11 находятся несколько протяженных участков пурин-пиrimидиновой последовательности с небольшими нарушениями, самый большой из них имеет общую длину 106 п.о. Интересно, что на долю динуклеотида dGT (или dCA) приходится большая часть структуры интрана 11. Предполагают, что подобные структуры могут образовывать левозакрученную Z-форму ДНК [20], которая негативно влияет на транскрипцию [21]. Существует предположение, что эти повторяющиеся последовательности играют роль в генетической рекомбинации [22].

Центральная и 3'-концевая области гена  $\beta$ -субъединицы фосфодиэстеразы человека содержат четыре мини-сателлитных участка. Они находятся в интранах 8, 10, 12 и 21. На рис. 4

Таблица 2. Динуклеотидные повторяющиеся последовательности гена  $\beta$ -субъединицы ФДЭ cGMP человека

Повторяющийся элемент	Количество повторов	Общая длина повторяющегося элемента, п.о.	Место локализации – интрон
GT	9.5	19	5
GT	8	16	5
GT	7	14	11
$(CA)_n \cdot (GT)_n$	43	106	11
$(CA)_n \cdot (GT)_n$	19	42	11
$(CA)_n \cdot (GT)_n$	17	36	11
$(CA)_n \cdot (GT)_n$	12	24	11
$(CA)_n \cdot (GT)_n$	9.5	22	11
$(CA)_n \cdot (GT)_n$	11	24	11
$(CA)_n \cdot (GT)_n$	11	23	11
GT	6	12	11

приведена консенсусная последовательность мономера каждого мини-сателлита. Мини-сателлит в инtronе 8 состоит из 4 повторов длиной 32 п.о., мини-сателлит, обнаруженный в инtronе 12, – из 9 полных длиной 47 п.о. и одного неполного tandemного повтора и имеет длину 448 п.о. В инtronе 21 мини-сателлит длиной 735 п.о. состоит из более коротких tandemных повторов длиной 19 п.о.

В то время как повторы в каждом из этих двух мини-сателлитов более чем на 90% гомологичны и различаются лишь небольшими делециями, вставками и заменами нуклеотидов, мини-сателлит в инtronе 10 имеет более сложную структуру. Он состоит из двух гомологичных повторов, каждый из которых, в свою очередь, содержит tandemный повтор с консенсусом AGGGG-CA-GG. Более длинный мономер  $\beta$ MS10L рассматриваемого мини-сателлита имеет три такие последовательности, а более короткий  $\beta$ MS10S – две.

В последнее время мини-сателлитные локусы генома человека интенсивно исследуются. Многие локусы генома, содержащие tandemные повторы, гипервариабельны. Благодаря высокому уровню полиморфизма мини-сателлитные участки являются наиболее информативными генетическими маркерами и широко используются в генетическом анализе [23, 24]. Считают, что многие мини-сателлитные локусы являются горячими точками митотической и мейотической рекомбинаций [25].

## ЭКСПЕРИМЕНТАЛЬНАЯ ЧАСТЬ

В работе использовали: трис, цитрат натрия, хлорид магния, DMSO, муравьиную кислоту, ацетат натрия, хлорид кальция, уксусную кислоту,  $\beta$ -меркаптоэтанол (Merck, ФРГ); агарозу, N,N'-метиленбисакриламид, акриламид, SDS, N,N,N',N'-тетраметилэтилендиамин (TEMED), нитроцеллюлозу Trans-Blot transfer medium (Bio-Rad, США); EDTA, тритон X-100, борную кислоту (Serva, ФРГ); бромфеноловый синий, ксиолцианоловый голубой (Koch-Light, Англия); дитиотрейт, бромистый этидий, поливинилпирролидон, фиколл-400, глицерин, бычий сывороточный альбумин (Sigma, США), триптон, дрожжевой экстракт, бакто-агар (Difco, США); тРНК, 2'-дезоксирибонуклеозидтрифосфаты (dNTP) (Boehringer-Mannheim, ФРГ); мочевину (Pierce, США); DEAE-бумагу DE-81, DEAE-целлюлозу DE-52, ватман 3ММ (Whatman, Англия); нитроцеллюлозные фильтры BA 85 (Schleicher und Schüll, ФРГ); мембранны Biodyne<sup>TM</sup> (Pall, США); мембранны H-bond-N<sup>TM</sup> (Amersham, Англия).

Для приготовления буферных и других растворов использовали отечественные реактивы квалификации ос. ч. или х. ч.

В работе использовали эндонуклеазы рестрикции фирм "Фермент" (Литва), Reanal (Венгрия), Pharmacia (Швеция), Amersham (Англия) и Boehringer-Mannheim (ФРГ); фрагмент Кленова ДНК-полимеразы I *E. coli*, полинуклеотидкиназу фага T4, нуклеазу из проростков золотистой фасоли, наборы для ник-трансляции и для мечения 3'-выступающих концов фирмы Amersham (Англия); ДНК-лигазу фага E4, ДНК-полимеразу I *E. coli*, РНКазу A, лизоцим яичного белка, щелочную фосфатазу из кишечника теленка (CIP; Boehringer-Mannheim, ФРГ), протеиназу K (Serva, ФРГ); плазмиды pSP65, pUC8, pUC18, pUC19 (Promega, США).

Работу с ДНК осуществляли стандартными методами [13]. Серии делеционных производных клонов получали по методу [14] с использованием набора "Erase-a-Base System" (Promega, США). Нуклеотидную последовательность определяли методом Сэнгера на двухцепочечной матрице [26], используя набор "Sequence version 2.0" (USB, США), согласно рекомендациям изготовителя, и методом Максама–Гилберта в твердофазном варианте, как описано в работе [27].

Настоящая работа выполнена при финансовой поддержке Российского фонда фундаментальных исследований (код проекта 93-04-7310), Международного научного фонда (MU5000 и MU5300) и Государственной научно-технической программы РФ "Новейшие методы биоинженерий".

## СПИСОК ЛИТЕРАТУРЫ

1. Baehr W., Delvin M.J., Applebury M.L. // J. Biol. Chem. 1979. V. 254. P. 11669–11677.
2. Deterre P., Bigay J., Forquet F., Robert M., Chabre M. // Proc. Natl. Acad. Sci. USA. 1988. V. 85. P. 2424–2428.
3. Pittler S.J., Baehr W. // Proc. Natl. Acad. Sci. USA. 1991. V. 88. P. 8322–8326.
4. Ovchinnikov Yu.A., Lipkin V.M., Kumarev V.P., Gubanov V.V., Khramtsov N.V., Akhmedov N.B., Zagranichny V.E., Muradov K.G. // FEBS Lett. 1986. V. 204. P. 288–292.
5. Ovchinnikov Yu.A., Gubanov V.V., Khramtsov N.V., Ischenko K.A., Zagranichny V.E., Muradov K.G., Shuvayeva T.M., Lipkin V.M. // FEBS Lett. 1987. V. 223. P. 169–173.
6. Lipkin V.M., Khramtsov N.V., Vasilevskaya I.A., Atabekova N.V., Muradov K.G., Gubanov V.V., Li T., Johnston J.P., Volpp K.J., Applebury M.L. // J. Biol. Chem. 1990. V. 265. P. 12955–12959.
7. Храмцов Н.В., Фещенко Е.А., Суслова В.А., Терпугов Б.Е., Ракитина Т.В., Атабекова Н.В., Шмуклер Б.Е., Липкин В.М. // Биоорган. химия. 1992. Т. 18. С. 1551–1554.
8. Khramtsov N.V., Feschenko E.F., Suslova V.A., Shmukler B.E., Terpugov B.E., Rakitina T.V., Atabekova N.V., Lipkin V.M. // FEBS Lett. 1993. V. 327. P. 275–278.

9. Пиреев Н.И., Пуришко В.А., Храмцов Н.В., Липкин В.М. // Докл. АН СССР. 1990. Т. 315. С. 229–231.
10. Benton W.D., Davis R.W. // Science. 1977. V. 196. P. 180–182.
11. Woo S.L.C. // Methods Enzymol. 1979. V. 68. P. 389–395.
12. Забаровский Е.П., Турин О.В. // Молекуляр. биология. 1988. Т. 22. С. 1451–1455.
13. Maniatis T., Fritsch E.F., Sambrook J. // Molecular Cloning. A Laboratory Manual. N.Y.: Cold Spring Harbor, 1982.
14. Henikoff S. // Gene. 1984. V. 28. P. 357.
15. Breathnach R., Chambon P. // Annu. Rev. Biochem. 1981. V. 50. P. 349–383.
16. Mount S.M. // Nucl. Acids Res. 1982. V. 10. P. 459–472.
17. Reed R., Maniatis T. // Genes Dev. 1988. V. 2. P. 1268–1276.
18. Hwu H.R., Roberts J.W., Davidson E.H., Britten R.J. // Proc. Natl. Acad. Sci. USA. 1986. V. 83. P. 3875–3879.
19. Jurka J., Smith T. // Proc. Natl. Acad. Sci. USA. 1988. V. 85. P. 4775–4778.
20. Nordheim A., Rich A. // Proc. Natl. Acad. Sci. USA. 1983. V. 80. P. 1821–1825.
21. Naylor L.H., Clark E.M. // Nucl. Acids Res. 1990. V. 18. P. 1595–1601.
22. Pardue M.L., Lowenhaupt K., Rich A., Nordheim A. // EMBO J. 1987. V. 6. P. 1781–1789.
23. Armour J.A., Jeffreys A.J. // Curr. Opin. Genet. Dev. 1992. V. 2. P. 850–856.
24. Nakamura Y., Leppert M., O'Connel P., Wolff R., Holm T., Culver M., Martin C., Fujimoto E., Hoff M., Kumlin E., White R. // Science. 1987. V. 235. P. 1616–1622.
25. Блисковский В.В. // Молекуляр. биология. 1992. Т. 26. С. 965–982.
26. Tabor S., Richardson C.C. // Proc. Natl. Acad. Sci. USA. 1987. V. 84. P. 4767–4771.
27. Chuypilo S.A., Kravchenko V.V. // FEBS Lett. 1984. V. 179. P. 34–36.

## Structural Organization of the Human cGMP Photoreceptor Phosphodiesterase $\beta$ -Subunit Gene

V. A. Suslova, O. N. Suslov, E. E. Kim, and V. M. Lipkin<sup>1</sup>

Shemyakin-Ovchinnikov Institute of Bioorganic Chemistry, Russian Academy of Sciences,  
ul. Miklukho-Maklaya 16/10, GSP-7, Moscow, 117871 Russia

**Abstract**—Two recombinant bacteriophage  $\lambda$  clones encoding a 27.8-kb fragment of the human phosphodiesterase  $\beta$ -subunit gene were isolated from a human genomic library. The nucleotide sequences of 19 exons (from the 4th to 22nd), 18 introns, and the 3'-flanking region were determined. The analysis of the nucleotide sequence of the phosphodiesterase  $\beta$ -subunit gene revealed four *Alu* repeats and four minisatellite regions.

**Key words:** visual reception, cGMP, phosphodiesterase, intron, exon, *Alu* repeats, minisatellite DNA.

<sup>1</sup> To whom correspondence should be addressed.